

СТАЦИОНАРНОЕ ИСТЕЧЕНИЕ В ВАКУУМ ДВУХТЕМПЕРАТУРНОЙ ПОЛНОСТЬЮ ИОНИЗОВАННОЙ ПЛАЗМЫ

И. И. Литвинов

(Москва)

Показано, что при учете теплопроводности электронов и теплообмена между компонентами макроскопический процесс истечения плазмы из расширяющегося сопла определяется единственным безразмерным параметром — параметром адиабатичности, характеризующим переход от адиабатического течения плотной плазмы к течению сравнительно разреженной плазмы, когда длина пробега частиц сравнима с характерным размером сопла. Численным методом найдено распределение газодинамических и электрических параметров потока плазмы и соотношение между обобщенными выходными параметрами. Показано, что в последнем случае энергия ионов на бесконечности благодаря высокой теплопроводности по электронам может быть в десятки раз больше энергии при адиабатическом истечении, однако для ее достижения необходимо нереально большое расширение сопла. Рассмотрены также «особые» режимы течения, возникающие при расчете стационарного истечения плазмы на бесконечность.

Теоретическому и экспериментальному исследованию истечения ионизованного газа в вакуум посвящено большое число работ. В них рассматривается течение как разреженной плазмы [1-7], когда длина пробега частиц λ сравнима или даже меньше характерного размера источника L , так и плотной плазмы [8-15], для которой $\lambda \ll L$. В последнем случае большое внимание уделяется нарушению ионизационного, температурного и т. п. равновесия при уменьшении начальной плотности плазмы и его влиянию на газодинамические параметры потока.

Наряду с упомянутыми факторами при уменьшении плотности важную роль начинает играть теплопроводность электронного газа, приводящая к неадиабатическому характеру течения. Однако этот эффект в упомянутых работах не рассматривался. Более того, в работе [12], результаты которой по утверждению авторов пригодны и для случая $\lambda \ll L$, тепловой поток электронов q_e , роль которого в этом случае особенно велика, вообще выпал из системы уравнений.

Целью данной работы является исследование эффекта теплопроводности электронов при течении плазмы в сопле в «чистом виде», для чего в ней рассматривается идеализированный случай истечения полностью ионизованной двухтемпературной плазмы в широком диапазоне начальных плотностей. Эти результаты затем сопоставляются с обычным адиабатическим решением.

1. Качественный анализ течения плазмы в сопле. Ниже используется система уравнений полностью ионизованной двухтемпературной плазмы из [16]. В одномерном стационарном случае уравнение неразрывности имеет вид

$$NVS = I \quad (1.1)$$

где $N = N_e = N_i$ — плотность, $V = V_e = V_i$ — скорость плазмы, S — сечение канала, I — расход частиц.

Вместо двух отдельных уравнений движения для электронов и ионов удобно использовать уравнение равновесия электронов

$$0 = -dP_e/dX - eNE + R_T \quad (1.2)$$

и уравнение движения для плазмы в целом

$$MNVdV/dX = -d(P_e + P_i)/dX \quad (1.3)$$

В уравнениях (1.2), (1.3) $R_T = -0.71 NdT_e/dX$ — термосила. Кроме того, в них пренебрежено инерцией электронов ($m/M \ll 1$) и вязкостью.

Из двух энергетических уравнений используем уравнение тепла для ионов

$$\frac{3}{2} NV \frac{dT_i}{dX} + \frac{P_i}{S} \frac{d}{dX} (SV) = Q_\Delta, \quad Q_\Delta = \frac{3m}{M} \frac{N}{\tau_e} (T_e - T_i) \quad (1.4)$$

и суммарное уравнение переноса энергии

$$SNV \left[\frac{MV^2}{2} + \frac{5}{2} (T_e + T_i) \right] + Sq_e = H = \text{const} \quad (1.5)$$

где H — мощность потока плазмы.

В уравнении учитывается тепловой поток

$$q_e = -\kappa_e dT_e/dX \quad (\kappa_e = 3.16 NT_e \tau_e / m)$$

потоком же q_i в (1.5) пренебрегается.

Роль электронной теплопроводности легко оценить по величине отношения потока q_e к конвективному потоку тепла

$$\zeta = \frac{q_e}{NV\Gamma_e} \sim \sqrt{\frac{M}{m}} \frac{\lambda_e}{L} \quad (1.6)$$

Отсюда видно, что масштабом эффекта теплопроводности является большая длина [17] $L_0 = \lambda_e \sqrt{M/m}$. При $L \sim L_0$ тепловой поток порядка конвективного. При $L \sim \lambda_e$ поток q_e преобладает велик, при этом $\zeta \sim \sqrt{M/m} \gg 1$. Заметим, что при $L \sim \lambda_e$ эти результаты справедливы лишь по порядку величины, но уже для L/λ_e порядка нескольких единиц их точность сильно возрастает [18], поэтому ниже за границу макроскопического описания условно берется $L \geq \lambda_e$. Остальные отброшенные в (1.2) — (1.5) слагаемые существенны на длинах $\sim \lambda_e$ и при $L \gg \lambda_e$ ими действительно можно пренебречь.

Как следует из (1.5) и (1.6), κ_e почти не зависит от N , поэтому с ростом расхода I относительная роль q_e падает и течение стремится к адиабатическому с температурой $T = T_e + T_i = 2T_e$ и показателем адиабаты $5/3$. При этом параметры потока связаны между собой конечными алгебраическими соотношениями [10, 19, 20].

При учете теплопроводности электронов эти параметры зависят также и от хода процесса, причем мощность H в (1.5) в отличие от параметров N , T_e , T_i , V из-за неопределенности dT_e/dX во входном сечении является фактически неизвестной самоустанавливающейся величиной, зависящей от упомянутых «входных» параметров и формы канала. Правильное решение этого вопроса представляет главную трудность рассматриваемой задачи.

Выясним качественно условие перехода через скорость звука для указанного течения плазмы с подогревом. Как известно [17, 19], удобной моделью такого процесса является политропический закон

$$P/\rho^k = \text{const}, \quad \text{или} \quad T/N^{k-1} = \text{const} \quad (1.7)$$

где k — показатель политропы. Такая аппроксимация позволяет обычным путем через уравнение Бернулли прийти к алгебраическому соотношению

$$1 - \left(\frac{N}{N_0}\right)^{k-1} = \frac{k-1}{k} \frac{MV_0^2}{2T_0} \left[\left(\frac{V}{V_0}\right)^2 - 1\right] \quad (k \neq 1) \quad (1.8)$$

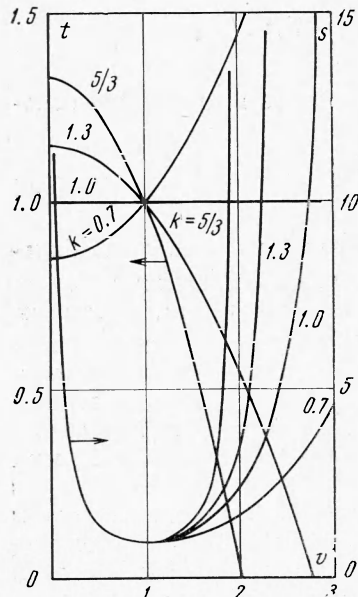
в котором нулевой индекс соответствует величинам в исходном сечении для интегрирования. Отношение $MV_0^2 / 2T_0$ в (1.8) остается пока неопределенным. Нормируя затем все величины в (1.1), (1.7) и (1.8) на их значения в этом сечении (малые буквы вместо больших) и требуя, чтобы это сечение совпало с критическим, для чего при $s = 1$ должно быть $ds/dv = 0$, находим важную для дальнейшего связь энергии и температуры в критическом сечении

$$\frac{MV_*^2}{2T_*} = \frac{k}{2} \quad (1.9)$$

После этого легко выразить все параметры течения через скорость

$$t = \frac{k+1}{2} - \frac{k-1}{2} v^2, \quad n = t^{(k-1)^{-1}}, \quad s = n^{-1} v^{-1} \quad (1.10)$$

Эти зависимости для разных значений k представлены на фиг. 1. Видно, что при $k > 1$ максимум скорости достигается на бесконечности при $t_\infty \rightarrow 0$, причем $v_\infty^2 = (k+1)/(k-1)$. Отсюда для адиабаты получается обычное соотношение $v_\infty = 2$. При $k \leq 1$ скорость по длине канала растет безгранично. Следовательно, подвод тепла в сверхзвуковую часть сопла при наличии соответствующего расширения ведет к росту скорости истечения.



Фиг. 1

Из (1.9) и фиг. 1 следует, что в критическом сечении сопла скорость потока плазмы проходит через «политропическую» скорость звука $a_* = \sqrt{kP_*/\rho_*}$, где теперь $P_* = P_e^* + P_i^*$. Этот результат совпадает с выводами для обычного газа [20]. Зависимость безразмерной скорости от сечения в дозвуковой части для разных k почти одинакова, поэтому здесь достаточно рассмотреть решение в сверхзвуковой части. Это решение ниже сшивается с политропическим в критическом сечении. Естественно, что на достаточном удалении это решение будет отличаться от политропического. Однако такая аппроксимация, как известно [17, 21], является весьма полезной в широкой области. Точное решение позволит также найти зависимость

эффективного показателя k от других параметров, характеризующих течение плазмы в целом.

2. Система уравнений для счета и ее особенности. Для приведения системы к виду, пригодному для метода Рунге — Кутты, в качестве неизвестных выберем величины T_e , T_i и энергию ионов W . Уравнения для T_e и T_i вытекают из (1.5) и (1.4). Уравнение для W получается из уравнения импульса (1.3) с учетом соотношения $-N'/N = S'/S + W'/2W$ из (1.4), причем производная $T' = T_e' + T_i'$ в правой части выражается через уравнения для T_e и T_i . Здесь и ниже штрих обозначает производную по X .

Как следует из (1.4) и (1.5), эти уравнения содержат свои характерные масштабы, поэтому решение в целом зависит от профиля сопла. В качестве такого выберем нормированное сечение в виде скругленного конуса

$$s(x) = 1 + x^2, \quad x = X / X_* \quad (2.1)$$

Существенные особенности решения, связанные с неопределенностью мощности H в (1.5), проще всего рассмотреть сначала на примере течения с $T_i \equiv 0$; далее будет рассмотрен и случай $T_i \neq 0$.

Течение с $T_i \equiv 0$. Уравнение (1.5), в котором теперь $T \equiv T_e$, из-за неопределенности H удобнее расписать через параметры в критическом сечении

$$\frac{S \kappa_e}{I} T_e' - \frac{S_* \kappa_e^*}{I} T_{e*}' = W - W_* + \frac{5}{2} (T_e - T_{e*}) \quad (2.2)$$

Деля далее (2.2) на T_{e*}' и нормируя затем все остальные величины на их значения при $X = 0$ (а координату X на X_*), находим с учетом (1.9)

$$t_e' = \frac{1}{s t_e^{5/2}} \left\{ t_{e*}' + \frac{\beta}{2} [k(w-1) - 5(1-t_e)] \right\} \quad (2.3)$$

где $t_e^{5/2} = \kappa_e / \kappa_e^*$, а $\beta = IX_* / S_* \kappa_e^*$ — безразмерный параметр течения.

Аналогично имеем уравнение для безразмерной энергии

$$\frac{w'}{2} \left(k - \frac{t_e}{w} \right) = t_e \frac{s'}{s} - t_e' \quad (2.4)$$

Входящий в (2.3) безразмерный градиент температуры t_{e*}' найдем из политропического решения (1.10). Для этого, выражая в соотношении $n^2 w = s^{-2} n$ и w через t и подставляя туда ряд $t = 1 + \tau_1 x + \dots$, из равенства коэффициентов при x^2 находим

$$\tau_1 = - \frac{\sqrt{2}(k-1)}{\sqrt{k+1}} = t_{e*}' \quad (2.5)$$

Аналогично, используя (2.5), имеем $w_*' = \varepsilon_1 = 2\sqrt{2} / \sqrt{k+1}$.

И, наконец, параметр течения β после подстановки для случая $T_i \equiv 0$ приобретает вид

$$\beta = \frac{1}{3.16} \frac{m v_e^* V_*}{T_{e*}^*} \frac{X_*}{\lambda_e^*} = \frac{2\sqrt{2}}{3.16} \sqrt{\frac{k}{\pi}} \sqrt{\frac{m}{M}} \frac{X_*}{\lambda_e^*} \quad (2.6)$$

где $v_e^* = (8T_{e*}^* / \pi m)^{1/2}$ — тепловая скорость электронов.

Наиболее существенная величина в (2.6) — это параметр

$$\beta^\circ = \sqrt{\frac{m}{M}} \frac{X_*}{\lambda_e^*} \quad (2.7)$$

определяемый как отношение характерного размера сопла X_* к масштабу эффекта теплопроводности L_0 . Очевидно, в данном случае это единственный обобщенный управляющий параметр, зависящий от входных параметров и геометрии сопла. Этот параметр должен также однозначно определять и эффективный показатель k . При $\beta^\circ \rightarrow \infty$ течение должно стремиться к адиабатическому, при уменьшении β° — к изотермическому. Учитывая сказанное, β° естественно назвать параметром адиабатичности. Практически, однако, удобнее задаться сначала величиной k и уже затем найти β и β° .

Для малых x квадратная скобка в (2.3) имеет вид

$$^{1/2} \beta [k(w-1) - 5(1-t_e)] \approx ^{3/4} \beta \varepsilon_1 (5/3 - k) x$$

Поэтому из (2.3) нетрудно заметить, что если для заданного $k < 5/3$ величина β меньше, чем требуется, то выражение в фигурных скобках в (2.3) с ростом x убывает по модулю недостаточно быстро, и тогда из-за множителя $t_e^{5/2}$ в знаменателе t_e круто пойдет к нулю. Аналогично, если β велико, то в этой скобке, начиная с некоторого x , произойдет смена знака на положительный, т. е. t_e станет нарастать. Эти явления условно названы T - и T' -кризисами.

Очевидно, для получения решения, удовлетворяющего требуемым условиям на бесконечности $T_e \rightarrow 0$, $T_e' \rightarrow 0$, необходима итерационная настройка параметра $\beta_j(k)$. Эта процедура эквивалентна упомянутой выше подстройке мощности H во входном сечении. Фактически входной градиент T_{e*}' , а в данной постановке $\beta^\circ(k)$, является собственным значением нелинейной краевой задачи.

Для определения первого приближения $\beta_1(k)$ рассмотрим ход решения вблизи $x = 0$. Подставляя для этого ряды в (2.3) и (2.4), находим при нулевой степени

$$\tau_1^e = \tau_1, \quad \varepsilon_1 = -2\tau_1 / (k - 1)$$

т. е. то же, что и для политропы. Последующие коэффициенты разложения τ_j и ε_j выражаются затем через τ_1 , ε_1 и β . Учитывая далее, что для политропы при $k \rightarrow 5/3$ величина $|\tau_2|$ конечна и весьма мала и стремится к нулю при $k \rightarrow 1$, для определения $\beta_1(k)$ положим в решении $\tau_2 \equiv 0$.

Отсюда

$$\beta_1 = \frac{5\sqrt{2}}{3\sqrt{k+1}} \frac{(k-1)^2}{5/3-k} \quad (2.8)$$

Это выражение качественно удовлетворяет искомой зависимости $k(\beta^\circ)$.

Настройка $\beta_j(k)$ производилась в работе автоматически путем деления пополам интервала $\Delta\beta_j$ между двумя ближайшими β_j , соответствующими T - и T' -кризисам. По мере уточнения β_j координаты кризисов отодвигаются в сторону больших x .

Течение с $T_i \neq 0$. Аналогично (2.3) теперь имеем

$$t_e' = \frac{1}{st_e^{5/2}} \left\{ t_{e*}' + \frac{\beta}{2} \left[k(w-1) - 5 \left(1 - \frac{t_e + t_i}{1 + \tau_*} \right) \right] \right\} \quad (2.9)$$

Умножая далее уравнения для W и T_i на X_* / T_e , получаем в безразмерном виде

$$\frac{w'}{2} \left[k(1 + \tau_*) - \frac{1}{w} \left(t_e + \frac{5}{3} t_i \right) \right] = \frac{s'}{s} \left(t_e' + \frac{5}{3} t_i \right) - t_e' - \frac{2}{3} \frac{Q_\Delta S X_*}{IT_e^*} \quad (2.10)$$

$$t_i' = -\frac{2}{3} t_i \left(\frac{s'}{s} + \frac{w'}{2w} \right) + \frac{2}{3} \frac{Q_\Delta S X_*}{IT_e^*} \quad (2.11)$$

В отличие от общего правила в уравнениях (2.9) — (2.11) температура T_i нормирована на T_{e*}' , причем $t_i^* = \tau_*$. Кроме того, параметр настройки β в (2.9) в общем случае $\tau_* \neq 0$ имеет вид

$$\beta = (1 + \tau_*) I X_* / S_* \kappa_e^*$$

Для приведения последних членов в (2.10) и (2.11), обозначенных как $B_{\Delta} = B^* b_{\Delta}$, с учетом (1.1) и (1.9) находим

$$b_{\Delta} = \frac{t_e - t_i}{sw t_e^{5/2}}$$

$$B^* = \frac{2m}{M} \frac{v_e^*}{V_*} \frac{X_*}{\lambda_e^*} = \frac{4\sqrt{2}}{\sqrt{\pi k}} \frac{\beta^{\circ}}{\sqrt{1 + \tau_*}}$$

Таким образом, теплообмен между компонентами определяется тем же параметром β° , что и эффект теплопроводности.

При настройке β_j параметры β_j° и B_j^* можно найти из соотношений

$$\beta_j^{\circ} = 1.58 \sqrt{\frac{\pi}{2k}} \frac{\beta_j}{(1 + \tau_*)^{3/2}}, \quad B_j^* = \frac{6.32}{k} \frac{\beta_j}{(1 + \tau_*)^2} \quad (2.12)$$

Для определения зависимости τ (k) учтем, что в плотном потоке ($k \rightarrow 5/3$) из-за большого теплообмена ($Q_{\Delta} \sim N^2$) температура T_i должна стремиться к T_e ($\tau_* \rightarrow 1$). При уменьшении k ионы не успевают подогреться, поэтому $\tau_* \rightarrow 0$. Подставляя опять ряды в (2.9) и (2.11) и приравнявая коэффициенты при $x^{(2)}$, имеет соотношения

$$\tau_1^e = \tau_1^c, \quad \tau_1^i = -1/3 \tau_* \varepsilon_1 + B^* (1 - \tau_*), \quad \varepsilon_1 = -2\tau_1 / (k - 1) \quad (2.13)$$

Отсюда видно, что для сшивания решения с политропическим надо задать величины τ_1 и ε_1 , где теперь τ_1 — безразмерный начальный градиент полной температуры

$$\tau_1 = (\tau_1^e + \tau_1^i) / (1 + \tau_*)$$

При этом τ_1^e и τ_1^i остаются пока произвольными. Однако из (2.13) нетрудно заметить, что при $k \rightarrow 5/3$ $\tau_1^i \rightarrow -\tau_* \varepsilon_1 / 3$, где $-\varepsilon_1 / 3$ стремится к адиабатическому градиенту $\tau_1 = -1 / \sqrt{3}$. Поэтому если принять естественное допущение, что τ_1^i пропорционально τ_* и τ_1 для всех k ($\tau_1^i = \tau_* \tau_1$), то тогда опять получим $\tau_1^e = \tau_1$, а для τ_* из (2.13) с учетом (2.12) имеем уравнение

$$\frac{\tau_* (1 + \tau_*)^2}{1 - \tau_*} = \frac{6.32}{\sqrt{2}} \frac{\sqrt{k+1}}{k} \frac{\beta_j}{5/3 - k} \quad (2.14)$$

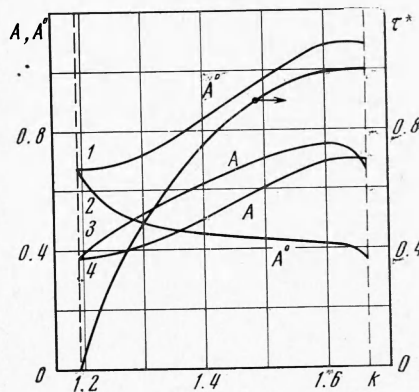
Это кубическое относительно τ_* уравнение легко решается по формуле Кардана.

Таким образом, система (2.9) — (2.11) с учетом (2.12) и (2.14) полностью готова для счета и итерационной настройки β_j , и параметров τ_*^j , β_j° , B_j^* . В качестве первого приближения для β_1 можно снова взять (2.8).

Очевидно, что принятая здесь взаимосвязь $\tau_1^i = \tau_* \tau_1$ не является единственно возможной.]

3. Численные результаты и обсуждение. При настройке $\beta_j(k)$ оказалось, что с уменьшением k , начиная с некоторого значения k_* , T — кризис отсутствует. Объяснение этого явления таково. Вблизи порога ($k \rightarrow k_*$) $\beta \rightarrow 0$, поэтому, полагая здесь $\beta \equiv 0$ и отбрасывая квадратную скобку в (2.3), (2.9), получаем решение

$$t_e = (1 - 7/2 |\tau_1| \operatorname{arc} \operatorname{tg} x)^{3/2}$$



Фиг. 2

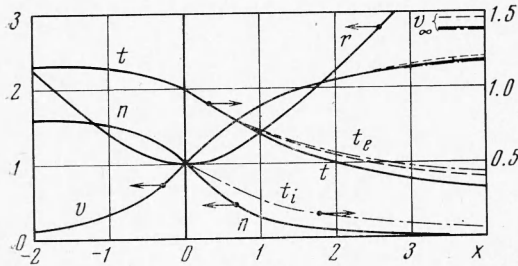
Для $|\tau_1| < 4/7 \pi$ это решение при $x \rightarrow \infty$ уже не достигает нуля. Отсюда для граничного k имеем уравнение

$$(k-1)/\sqrt{k+1} = 2\sqrt{2}/7\pi$$

решение которого есть $k_* = 1.19035$.

Величина k_* зависит от профиля сопла $r(x)$. При меньшей расходимости сопла по сравнению с (2.1) $k_* \rightarrow 1$.

Как выяснилось при настройке β и β° , их зависимость от k хорошо описывается формулами вида $A(k - k_*) / (5/3 - k)$, где $A(k)$ — множители порядка единицы, представленные на фиг. 2. Кривые 1 и 4 относятся к случаю $T_i \equiv 0$, кривые 2, 3 — к случаю $T_i \neq 0$. Там же дана зависимость $\tau_*(k)$. Вертикальные штриховые прямые задают диапазон изменения k от $k_* = 1.19035$ до $k = 5/3$.



Фиг. 3

На фиг. 3 представлено типичное расчетное распределение газодинамических величин для $k = 1.3$ и профиля $r(x)$ согласно (2.1). Там же приведено политропическое решение. Здесь и ниже при сравнении трех случаев кривые представлены сплошной

линией для политропы, штриховой — для $T_i \equiv 0$ и штрих-пунктиром — для $T_i \neq 0$. Видно, что общий ход решения весьма близок к политропическому. Более заметно различие в ходе температур, причем t_i с ростом x падает быстрее t_e , но суммарная температура t также близка в политропической. При $k \rightarrow k_*$ расхождение точного и политропического решений возрастает. Видно также, что в этом случае эффект теплообмена не имеет существенного значения.

При $k \rightarrow 5/3$ из-за больших значений β° точности настройки β_j (вплоть до девятого знака) оказалось недостаточно для заметного продвижения решения по x .

Распределение энергии ионов для разных k и нормированной на W_* разности потенциалов в потоке ($T_i \neq 0$) представлено на фиг. 4 (последняя — пунктиром). Уравнение для разности потенциалов $e|\Delta\phi|$ получено из (1.2)

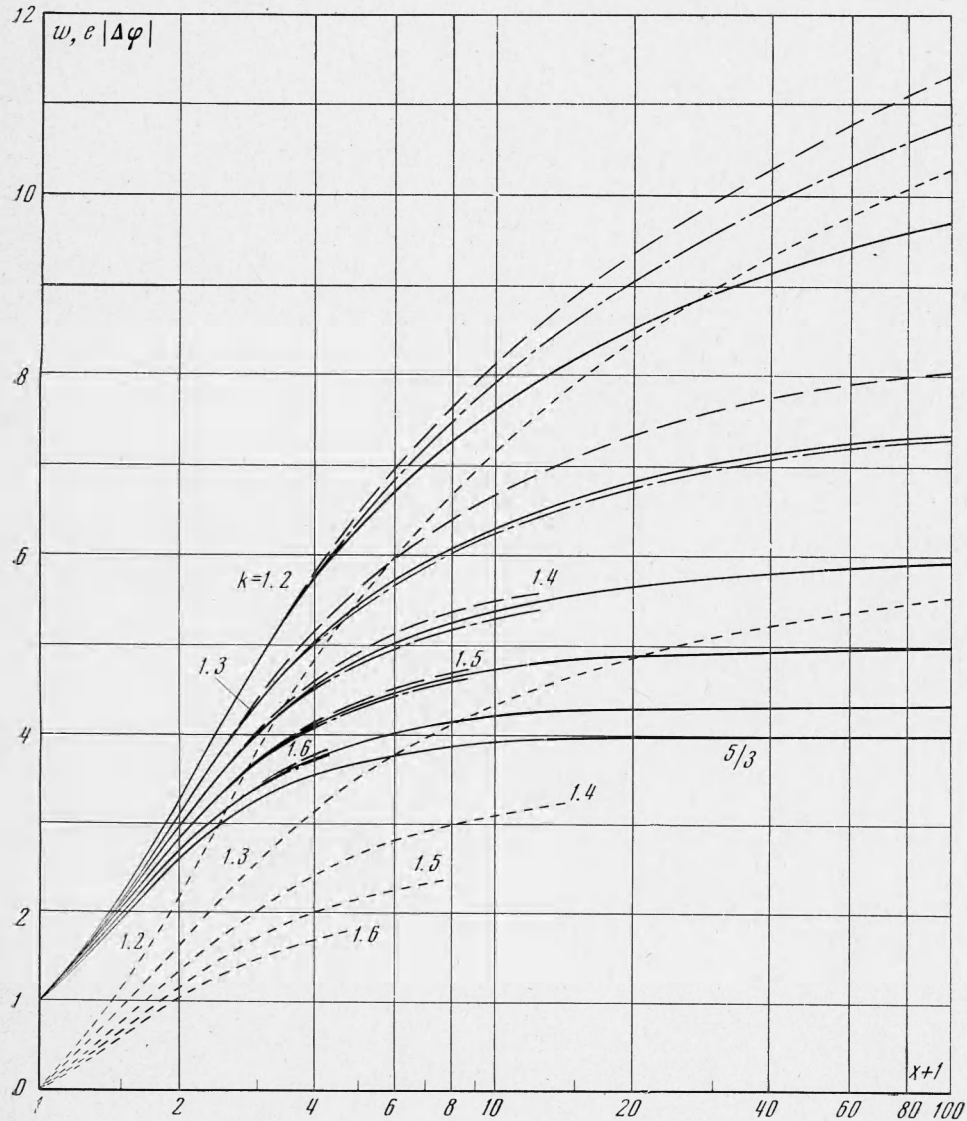
$$e|\Delta\phi|' = \frac{2}{k(1+\tau_*)} \left[t_e \left(\frac{s'}{s} + \frac{w'}{2w} \right) - 1.71 t_e' \right]$$

Из фиг. 4 и анализа (1.2), (1.3) вытекает интересный вывод о роли термосилы R_T . Поскольку R_T — сила внутренняя, она в целом не сказывается на ускорении плазмы (см. (1.3)), однако существенно влияет на величину другой внутренней силы — электрической — и на соотношение перепада потенциалов $e|\Delta\phi|$ и энергии ионов w . Например, при $k \rightarrow k_*$, когда $T_i \sim 0$, сила eNE больше $-dP_e/dX$ на величину R_T , поэтому разность потенциалов может быть больше энергии ионов. При $k \rightarrow 5/3$, когда вклад силы $-dP_i/dX$ велик, $e|\Delta\phi|$ меньше w , но и при адиабатическом истечении ($k = 5/3$), в потоке реализуется вполне определенный конечный перепад потенциала.

Важной характеристикой течения плазмы является энергия ионов на бесконечности. Ее величину можно найти из (1.5)

$$w_\infty = \frac{H}{IW_*} = 1 + \frac{5}{k} + \frac{2}{k} \frac{|\tau_1^e|}{\beta} \quad (3.1)$$

Последнее слагаемое в (3.1) определяет вклад теплопроводности электронов. При $\beta \rightarrow \infty$ (адиабата) роль q_e незначительна, и тогда получаем обычное значение $w_\infty = v_\infty^2 = 4$.



Фиг. 4

Формально энергия ионов на бесконечности при $k \rightarrow k_*$ может быть сколько угодно большой, однако на самом деле здесь вступает в силу ряд существенных физических ограничений. Первое из них — необходимость выполнения условия макроскопического описания. Тогда, полагая в критическом сечении $\lambda_e^* \lesssim X_*$, получаем для разных газов таблицу предельных значений.

Такое ограничение w_∞ физически соответствует тому, что тепловой поток электронов q_e^* не может превысить своего естественного верхнего

предела — хаотического потока тепла

$$q_e^{\circ} = 2T_e^* N_* v_e^* / 4 \quad (3.2)$$

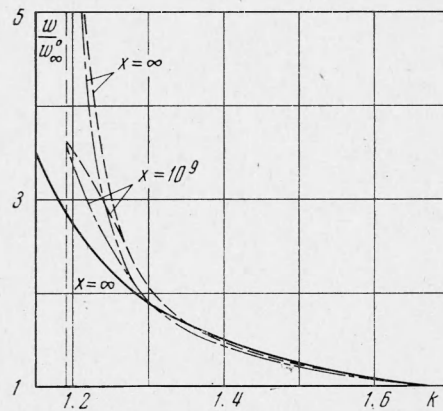
В последнем случае находим

$$w_{\max}^{\infty} = 1 + \frac{5}{k} + \sqrt{\frac{2}{\pi k}} \sqrt{\frac{M}{m}}$$

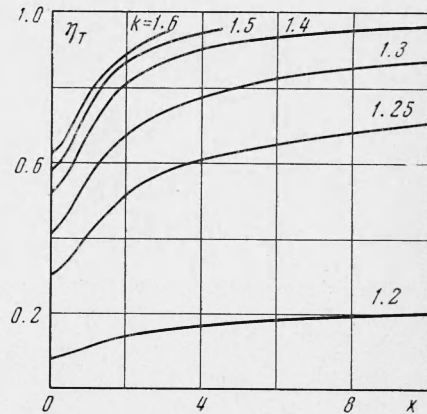
Эта величина всего примерно в $4/3$ раза больше значений, приведенных в таблице.

Необходимо также учитывать, что условие $\lambda_e^* < X_*$ для течения с подогревом не всегда ведет к условию $\lambda_e < X$ по потоку. В самом деле, учитывая, что $\lambda_e = \lambda_e^* t_c^2 / n$, для политропы имеем $\lambda_e = \lambda_e^* n^{2k-3}$. Аналогично из уравнения неразрывности находим $X \approx X_* w^{-0.25} n^{-0.5}$, где $w^{-0.25} \sim 1$. Тогда условие в потоке $\lambda_e < X$ переходит в неравенство $n^{2k-2.5} < X_* / \lambda_e^*$. Для его выполнения при $n_{\infty} \rightarrow 0$ требуется $k > 1.25$. При $k < 1.25$, начиная с некоторого значения x , первоначальное условие $X / \lambda_e^* \gg 1$ уже не выполняется, и дальше необходимо кинетическое решение. Интересно, что в этом случае параметры β_j , а следовательно,

и мощность потока H , известны уже с достаточной точностью, поэтому задачей кинетического решения является лишь уточнение пространственного хода усредненных параметров и функций распределения частиц.



Фиг. 5



Фиг. 6

Второе условие применимости макроскопических уравнений — условие малости дебаевского радиуса $\delta \ll X$. Нетрудно показать, что это условие, которое для политропы переходит в неравенство $n^{0.5(k-1)} \ll X_* / \delta_*$, выполняется при $n_{\infty} \rightarrow 0$ вплоть до $k = 1$. Следовательно, в этом случае, несмотря на нарушение условия $\lambda_e < X$ в потоке, тепловая энергия электронов благодаря электрическому полю E целиком переходит в кинетическую энергию ионов на бесконечности.

Сравним энергию ионов с энергией при адиабатическом истечении. На фиг. 5 для разных k приведены предельные энергии ионов на бесконеч-

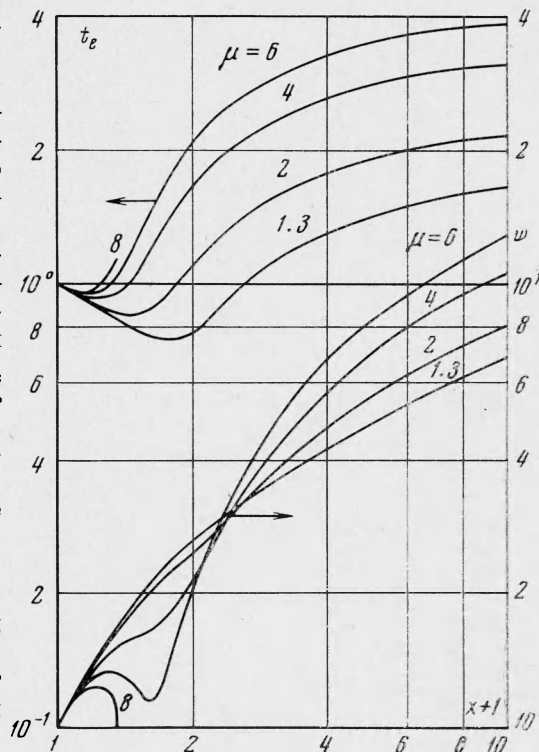
ности, а также ее расчетные значения для достаточно больших x (вплоть до $x = 10^9$). Эти величины отнесены к адиабатической энергии на бесконечности w_∞ . Согласно фиг. 5 и таблице при $k \rightarrow k^*$ энергия ионов на бесконечности может быть больше адиабатической в десятки раз. Однако даже для $x = 10^9$ расчетная энергия превышает адиабатическую не более чем в 3.7 раза. Это составляет примерно $W \sim 9T_e^*$. При реальных значениях $x \sim 10^1 - 10^2$ энергия ионов $\sim 5-7T_e^*$, что примерно соответствует потенциалу изолированного тела в плазме [5]. Такая энергия ионов неоднократно отмечалась в экспериментах [5-7, 15]. Учитывая сказанное, замечаем, что течения разреженной плазмы с $\lambda_e^* \sim X_*$ реально характеризуются очень низким к.п.д. $\eta_T = F^2/2MIV$, где $F(X) = S(P + MIV)$, поскольку для достижения $\eta_T \sim 1$ требуется недопустимо большое расширение сопла (см. фиг. 6). Такое снижение к.п.д. определяется большими потерями тепла за срез ускорителя, идущими на «обогрев» бесконечности. Аналогичный вывод сохраняет силу и для ускорителей плазмы других типов, в которых имеется прямой тепловой контакт области разряда с бесконечностью.

Заметим, что этот механизм потерь в лабораторных условиях проявляется не в полной мере, так как реально длина канала ограничена стенкой и электроны, запертые заряженным пристеночным слоем, уносят на стенку мощность $H_e = I \cdot 2T_e$, т. е. потери энергии на каждый электрон составляют не более $2T_e$ в отличие от $\sim T_e \sqrt{M/m}$ в случае истечения на бесконечность при $\lambda_e^* \sim X_*$. Фактически при наличии стенки вместо условий для T_e на бесконечности для настройки решения необходимо граничное условие на стенке, которое легко вывести по аналогии с выводом диффузионного потока частиц [18], пользуясь упомянутым выше хаотическим потоком тепла (3.2)

$$T_e = -f\lambda_e dT_e/dX \quad (X = X_w) \quad (3.3)$$

где f — кинетический коэффициент порядка единицы. Условие (3.3) определяет возможность лабораторного моделирования течения плазмы на бесконечность. В частности, в указанном здесь случае разреженной плазмы оба течения из-за различия в потоках тепла должны сильно отличаться.

Стоит, однако, отметить, что все выводы о состоянии на бесконечности получены для стационарного режима. Для течения с $\lambda_e^* \sim X_*$, когда существенны процессы на очень больших длинах, реальное течение фактически нестационарно, и здесь необходимо дополнительное рассмотрение.



Фиг. 7

В процессе счета был выяснен также ход решения в «закризисных» режимах. Оказалось, что при $\beta < \beta_\infty$ (T — кризис), t_e по-прежнему круто идет в нуль при медленном росте w . Другой случай $\beta > \beta_\infty$ (T' -кризис) оказался интереснее (см. фиг. 7; случай $T_i \neq 0$, $k = 1.5$). При небольшом превышении

$$\mu = \beta / \beta_\infty \gtrsim 1$$

t_e сначала падает, затем растет и выходит на постоянное значение. Энергия из-за роста t_e (а также t_i) растет быстрее, чем при $\mu = 1$. Это решение формально соответствует наличию впереди по потоку источника тепла. При $\mu = 4 \div 8$ температуры нарастают настолько быстро, что происходит запыриание потока. Это явление напоминает известное в аэродинамике явление теплового кризиса [19].

В заключение автор благодарит И. К. Фетисова за полезное обсуждение.

Поступила 14 VI 1971

ЛИТЕРАТУРА

1. П л ю т т о А. А. Ускорение положительных ионов в расширяющейся плазме вакуумных искр. ЖЭТФ, 1960, т. 39, вып. 6, стр. 1589.
2. П л ю т т о А. А., Р ы ж к о в В. Н., К а п и н А. Т. Высокоскоростные потоки плазмы вакуумных дуг. ЖЭТФ, 1964, т. 47, вып. 2, стр. 494.
3. S a l z F., M e y e r a n d R. G., L a r y E. C., W a l c h A. P. Electrostatic potential gradients in a Penning discharge. Phys. Rev. Letters, 1961, vol. 6, No. 10, p. 523.
4. R o s e D. J., E s t e r l i n g R. J. Calculation of distributions in one-dimensional plasma sheaths. J. Appl. Phys., 1962, vol. 33, No. 11, p. 3317.
5. Г а б о в и ч М. Д. Плазменные источники ионов. Киев, «Наукова думка», 1964.
6. Г а б о в и ч М. Д., Р о м а н ю к Л. И., У с т а л о в В. В. Истечение плазмы из разряда Пеннинга с накалимым катодом в вакуумную область, свободную от магнитного поля. Ж. техн. физ., 1969, т. 39, вып. 2, стр. 291.
7. A n d e r s e n S. A., J e n s e n V. O., N i e l s e n P., D' A n g e l o N. Continuous supersonic plasma wind tunnel. Phys. Fluids, 1969, vol. 12, No. 3, p. 557.
8. В е с к м а н н Н., С х а р м а н А. J. Thrust from partly ionised monatomic gases. ARS Journal, 1962, vol. 32, No. 9, p. 1369.
9. Г а б о в и ч М. Д., П а с е ч н и к Л. Л., Л о з о в а я Е. А. Выход в вакуум плазмы с большой концентрацией заряженных частиц. Ж. техн. физ., 1961, т. 31, вып. 9, стр. 1049.
10. С а р ы ч е в В. М. Одномерное движение термически неравновесной плазмы. ПМТФ, 1962, № 3, стр. 15.
11. К у з н е ц о в Н. М., Р а й з е р Ю. П. О рекомбинации электронов в плазме, расширяющейся в пустоту. ПМТФ, 1965, № 4, стр. 10.
12. C h o u Y. S., T a l b o t L. Source — flow expansion of a partially ionised gas into a vacuum. AIAA Journal, 1967, vol. 5, No. 12, p. 2166.
13. Л у к ь я н о в Г. А. Стационарный сверхзвуковой источник неравновесной плазмы. ПМТФ, 1968, № 6, стр. 13.
14. В а у л и н Е. П., О д и н ц о в а Г. А. Некоторые вопросы истечения плазмы смесей в вакуум. В сб. «Генераторы низкотемпературной плазмы», М., «Энергия», 1969.
15. А ф а н а с ь е в Н. В., К а п е л ь я н С. Н., Ф и л и п п о в Л. П., М о р о з о в В. А. О скоростях плазменных струй. Ж. прикл. спектроскопии, 1969, т. 11, вып. 4, стр. 629.
16. Б р а г и н с к и й С. И. Явления переноса в плазме. В сб. «Вопросы теории плазмы», вып. 1, М., Госатомиздат, 1963, стр. 183.
17. З е л ь д о в и ч Я. Б., Р а й з е р Ю. П. Физика ударных волн и высокотемпературных гидродинамических явлений. М., «Наука», 1966.
18. Л и т в и н о в И. И. Распределение диффундирующих частиц вблизи поглощающей стенки. ПМТФ, 1971, № 2, стр. 21.
19. А б р а м о в и ч Г. Н. Прикладная газовая динамика. М., «Наука», 1969.
20. В у л и с Л. А. Термодинамика газовых потоков. М., Госэнергоиздат, 1950.
21. Д о м б р о в с к и й Г. А. Метод аппроксимации адиабаты в теории плоских течений газа. М., «Наука», 1964.